

Textures and REE geochemistry in Gian copper occurrence

Taghipour, N. and Moore, F.

Department of Geology, Shiraz University,
n.taghipoor@graduate.uk.ac.ir

Key Words: *copper, metamorphism, REE*

Abstract: The Upper Devonian - Lower Carboniferous Sourian complex, is composed of clastic - carbonates, volcanic, metamorphic rocks and quartz lenses hosts copper mineralization in Gian area of Fars province.

This complex is metamorphosed to green schist facies. This metamorphism resulted in massive to disseminated sulfide mineralization in the direction of schistosity and within quartz lenses.

Low-grade green schist facies metamorphism is recognized with cataclastic flow and fracturing of pyrite crystals, infilling of fractures of pyrite with chalcopyrite, pressure shadow of chalcopyrite around pyrite, recrystallization and presence of triple junctions in pyrite.

Distribution pattern of REE in schists of Gian copper shows a decreasing trend from La to Lu. The ratio of $\sum \text{LREE} / \sum \text{HREE}$ is more than one and the ratio of $\text{La}_N / \text{Yb}_N$ is less than 15. This indicates that schists are formed by the metamorphism of shales and the ratio of $(\text{La/Lu})_{ch} > 1$ indicates that the transfer of REE has been affected by surface adsorption. It may be concluded that this copper occurrence is the result of ore-bearing shale metamorphism.

پژوهشی

مطالعات بافتی و عناصر نادر خاکی (REE) در رخداد مس جیان

نادر تقی‌پور و فرید مر

بخش زمین‌شناسی، دانشگاه شیراز

(دریافت مقاله ۱۳۸۰/۵/۱ دریافت نسخه نهایی ۱۳۸۱/۲/۲۵)

چکیده: همبافت سوریان به سن دونین فوکانی - کربونی‌زیرین، شامل سنگ‌های آواری - آهکی، آتششانی، دگرگونی و عدسی‌های کوارتز، سنگ میزان کانه‌زایی مس در منطقه جیان استان فارس است. این همبافت در حد رخساره شیست سیز دگرگون شده است. این دگرگونی باعث قرار گرفتن کانه‌های تودهای و افشار سولفیدی در جهت برگوارگی شیست‌ها و درون عدسی‌های کوارتز شده است. پیریت و کالکوپیریت کانیهای اصلی هستند. دگرگونی ناحیه‌ای درجه پایین شیست سیز، با جریان نتش آواری و خرد بلورهای پیریت، پر شدن شکستگیهای پیریت با کالکوپیریت، سایه فشار کالکوپیریت در اطراف پیریت، تبلور دوباره و بیوندگاه سه‌گانه در پیریت مشخص می‌شود.

نمودار پراکندگی عناصر نادر خاکی شیست‌های ذخیره مس جیان از Lu به Yb نشان می‌دهد و نسبت $\sum \text{LREE} / \sum \text{HREE}$ بیش از یک و نسبت $\text{La}_{\text{N}} / \text{Yb}_{\text{N}}$ کمتر از ۱۵ است و گویای تشکیل شیست‌ها از دگرگونی شیل هاست. همچنین نسبت $(\text{La} / \text{Lu})_{\text{m}} > 1$ نشان می‌دهد که فرایند جذب سطحی در انتقال عناصر نادر خاکی دخالت داشته است. به طور کلی می‌توان گفت که ذخیره مس جیان حاصل دگرگونی یک شیل کانه‌دار است.

واژه‌های کلیدی: مس، دگرگونی، عناصر نادر خاکی

مقدمه

تعداد زیادی ذخیره سولفید توده‌ای و افسان از مناطق دگرگون شده جهان گزارش شده‌اند [۱] و ذخیره مس جیان نیز در زمرة این گروه از ذخایر محسوب می‌شود که دگرگونی ناحیه‌ای آن در حد رخساره شیست سبز درجه پایین است و با حضور کانیهای کلریتی و سریسیتی مشخص می‌شود.

پژوهشگران زیادی از مطالعه ریز ساختارهای سولفیدی و فابریک‌ها برای تعیین وسعت دگرشکلی و دگرگونی کانیهای سولفیدی استفاده کردند [۲، ۳، ۴].

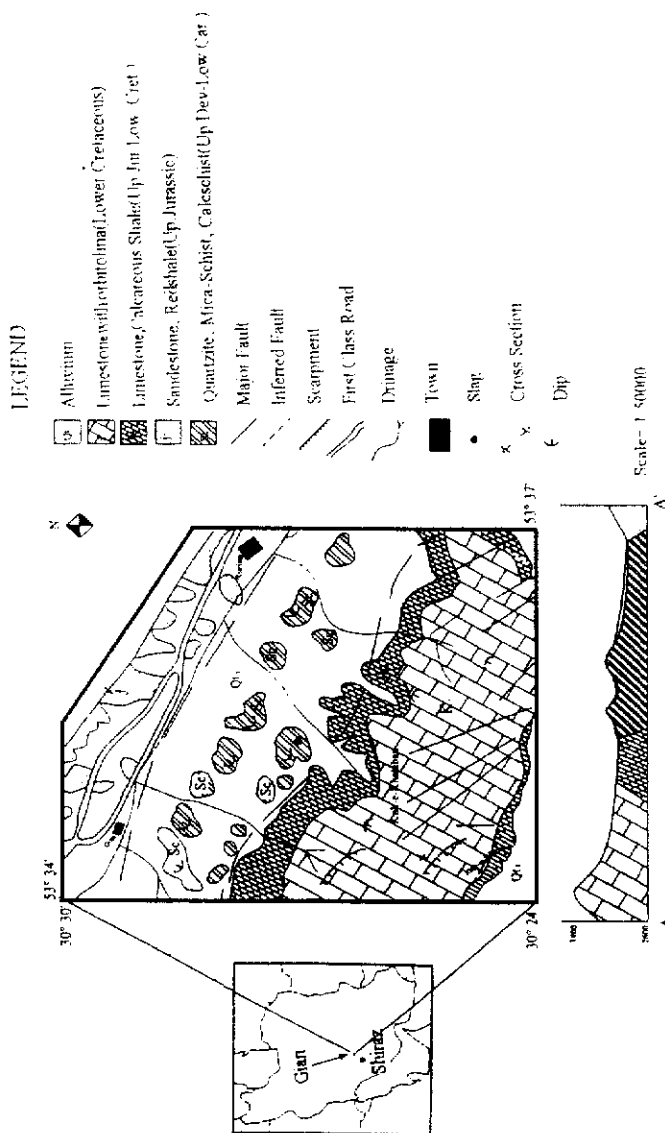
مارشال و همکاران [۳] به بررسی جنبه‌های تحرک دوباره ذخایر پرداخته و نشان دادند که ساز و کارهای دگرشکلی شامل تحرک دوباره درونی و بیرونی کانسنسگ سولفیدی را می‌توان از روی بافتها و ساختهای در محل جایگیری کانسسار مشخص کرد.

جایگاه زمین‌شناختی رخداد مس جیان

ذخیره مس جیان در ۱۸۰ کیلومتری شمال شرق شیراز در منطقه بوانات در زون سنتنچ - سیرجان واقع شده است. این ذخیره در همبافت سوریان که شامل مجموعه‌ای از سنگهای آواری - آهکی، آتشفشنائی، دگرگونی، و عدسی‌های کوارتزی به سن دونین فوکانی - کربونیفر زیرین است، قرار دارد [۵] (شکل ۱).

سنگهای دگرگونی غالب در این همبافت را کلریت شیست و کالک شیست تشکیل می‌دهند. عدسی‌های کوارتزی دارای اندازه‌های متفاوتی هستند (با ضخامت بیشینه ۲ متر). این عدسی‌ها درون شیست‌ها قرار دارند و از روند کلی شیست‌سانی حاکم بر این سنگها که شمال غربی - جنوب شرقی است، تبعیت می‌کنند. دایکهای دیابازی سنگهای آذرین این همبافت را تشکیل می‌دهند که شیست‌سانی سنگهای دگرگون را قطع کرده‌اند. علاوه بر همبافت سوریان، آهکهای توده‌ای و خاکستری به سن ژوراسیک - کرتاسه و آهکهای کرتاسه در جنوب معدن و شیلهای قرمز رنگ ژوراسیک در شمال معدن وجود دارند [۶].

دو گسل با روند شمال غربی - جنوب شرقی در منطقه دیده شده‌اند که گسل شمالی بین همبافت سوریان و شیلهای قرمز رنگ ژوراسیک، و گسل جنوبی بین همبافت سوریان و آهکهای ژوراسیک - کرتاسه واقع شده است (شکل ۱).



شکل ۱- نقشه زمین شناسی محدوده ذخیره مس جیان.

ویژگیهای توده معدنی

سنگ میزبان کانه‌زایی در معدن مس جیان شیست‌ها و عدسی‌های کوارتز هستند. کانسنتگ شیست سولفیدی از نازک لایه‌های غنی و فقیر سولفیدی تشکیل می‌شود. ضخامت این نازک لایه‌ها از ۹mm تا ۲۷mm تغییر می‌کند، پیریت کانی اصلی سولفیدی است که به صورت خوش وجه در این سنگ میزبان دیده می‌شود.

اندازه این بلورها متفاوت بوده و از دانه‌های بسیار ریز تا بلورهایی با ابعاد ۳mm متغیر است. نازک لایه‌های فقیر سولفیدی با دانه‌های پراکنده پیریت که به موازات شیست‌سائی قرار گرفته‌اند، مشخص می‌شوند.

عدسی‌های کوارتزی در همیافت سوریان در درون سنگهای دگرگونی قرار گرفته‌اند و از شیست‌سائی حاکم بر این سنگها تعیت می‌کنند. عدسی‌های کوارتز سولفیدی نیز در درون شیست‌های سولفیدی قرار دارند. اندازه این عدسی‌های کوارتز سولفیدی متغیر بوده و ضخامت بیشینه آنها ۱m است. پیریت و کالکوپیریت کانیهای اصلی سولفیدی، در عدسی‌های کوارتز جای دارند. این کانیها بیشتر به صورت افسان در درون عدسی‌های کوارتزی قرار گرفته‌اند.

کانه چیره سولفیدی در نازک لایه‌های غنی سولفیدی شیست‌ها، پیریت است. مشخصه بارز این نازک لایه‌های پیریتی، بافت تنش‌آواری (کاتاکلستی) آنهاست.

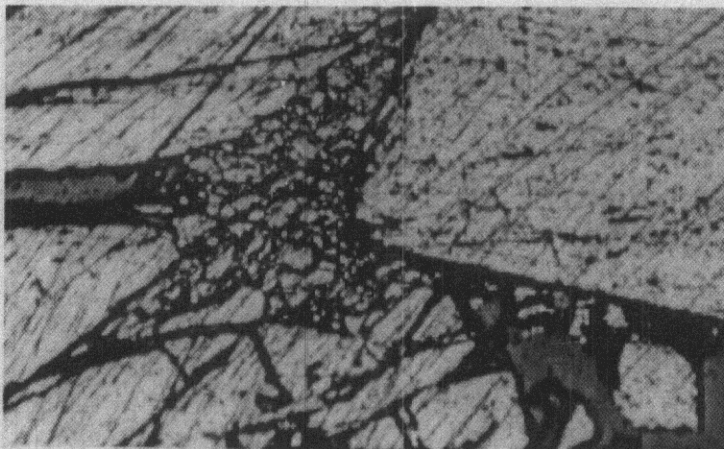
در بخش‌های چین‌خورده شیست‌های سولفیدی، پیریت با ساخت بالشتکی یافت می‌شود. فضای بین بالشتکها با کوارتز و یا کلریت پر شده است.

هر جا که پیریت به فراوانی یافت می‌شود و در جایی که بلورهای خوش‌وجه پیریت تحت تاثیر نیروهای عمل کننده در مقابل یکدیگر قرار گیرند، دگرشکلی تنش‌آواری رخ می‌دهد [۷] (شکل ۲).

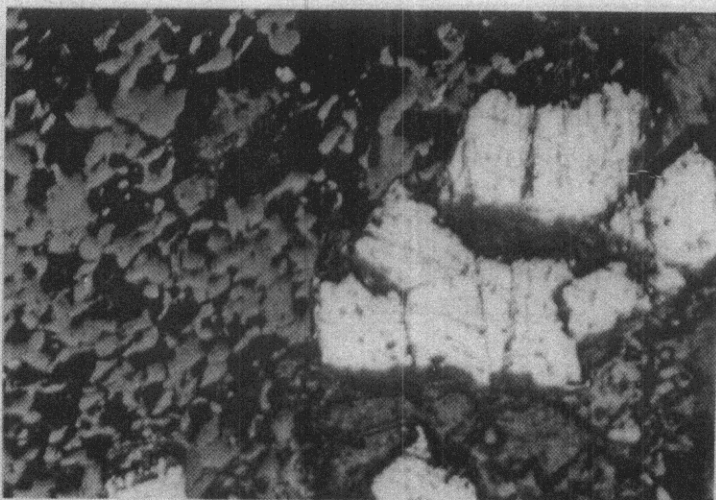
کانی پیریت علیرغم سختی و ماهیت دیرگذار خود، تمایل دارد که در واکنش به دگرگونی در درجات رخساره شیست سبز و بالاتر، باز بلوریده شود. باز بلورش بخش‌های حاوی پیریت فراوان باعث تشکیل پیریت‌های موزاییکی با بافت پیوندگاه سه‌گانه شده و از روی زاویه ۱۲۰° بین دانه‌های پیریت مشخص می‌شود [۸] (شکل ۳). در مواردی مرزهای پیوندگاه سه‌گانه در اثر فشارهای زمین‌ساختی یا فشار شاره باز می‌شود که در این حالت کانیهای نرمتر مانند کالکوپیریت بین مرز دانه‌ها جانشین می‌شوند (شکل ۴).

اغلب کانسارهای سولفیدی که تحت تاثیر دگرگونی قرار گیرند، بافت‌هایی به وجود می‌آیند که نشانگر تحرك مواد سولفیدی نرمتر (کالکوپیریت، پیروتیت، اسفالریت، و گالن) به داخل شکستگیهای موجود در درون سولفیدهای سخت‌تر و شکننده‌تر (پیریت و آرسن‌پیریت) است. شکل ۵ چنین حالتی را در ذخیره مسن جیان نشان می‌دهد که

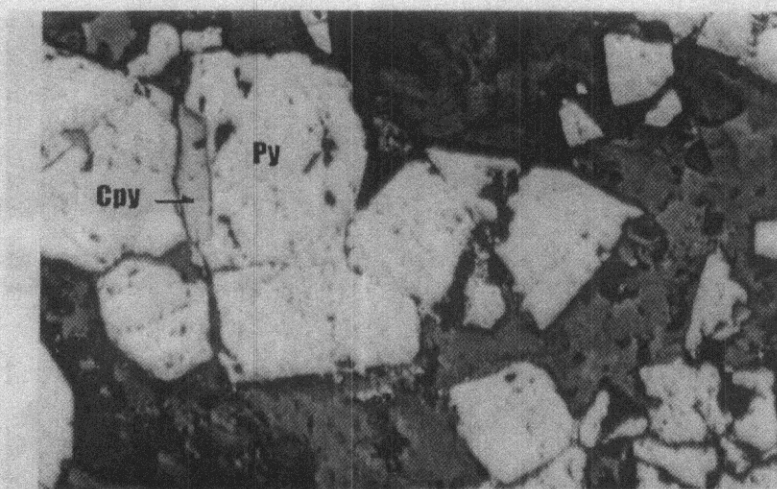
شکستگیهای پیریت با کالکوپیریت پر شده است. از جنبه‌های دیگر همین فرایند مهاجرت مواد سولفیدی نرم به صورت سایه فشاری در اطراف کانیهای سخت و سفتتر است (شکل ۶).



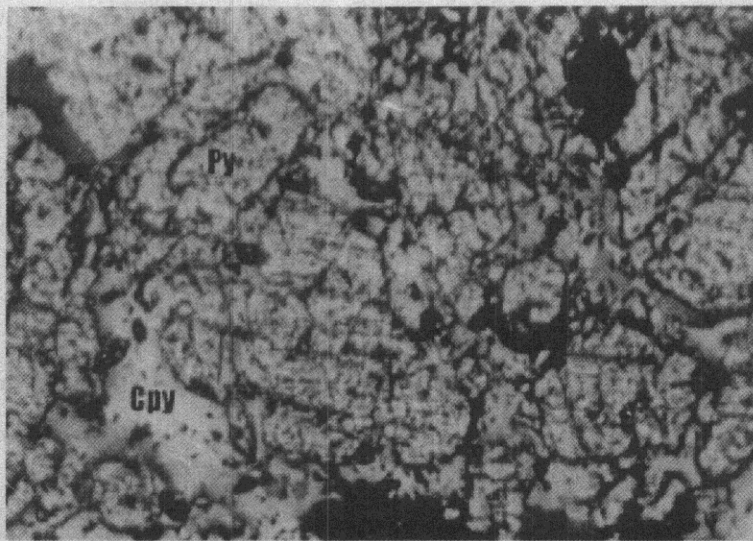
شکل ۲- بافت تنش‌آواری (کاتاکلستی) در پیریت درون عدسی کوارتزی (نور عادی)
بزرگنمایی $\times 50$



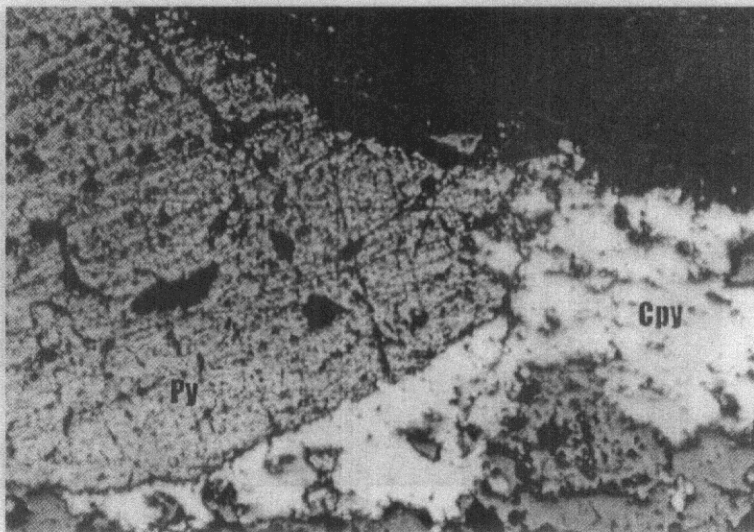
شکل ۳- بافت پیوندگاه سه‌گانه در پیریت درون شیست کانه‌دار (نور عادی)
بزرگنمایی $\times 50$



شکل ۴- پرشدن فضای بین بلورهای پیریت تشکیل دهنده بافت پیوندگاه سه گانه با کالکوپیریت (نور عادی) بزرگنمایی $\times 100$



شکل ۵- بافت تنش آواری (کاتاکلستی) در پیریت و پرشدگی شکستگیها با کالکوپیریت (نور عادی) بزرگنمایی $\times 50$



شکل ۶- سایه فشاری کالکوپیریت در اطراف پیریت در عدسی کوارتزی (نور عادی)
بزرگنمایی $\times 50$

مارشال و همکاران [۳] اخیراً بحثی درباره تحرک دوباره، در محیط‌های دگرگون ناحیه‌ای ارائه کردند. بنا بر نظر این پژوهشگران سازوکارهای اصلی در دگرگونی، شامل شارش تنش آواری و دانه‌ای^(۱) و شارش درفتگی^(۲) است.

به عقیده کاکس [۵] در محیط‌های با فشار محصور گشته و دمای پایین، شارش تنش آواری^(۳) و گسیخت شکننده^(۴)، ساز و کارهای مهم دگرشكلي کانیهای سولفیدی هستند. با شواهد ریز بافتی تحرک دوباره در محیط‌های دگرگون، پیریت غالباً گسیخته یا شکسته می‌شود و سپس این شکستگیها به وسیله سیلیکاتها، کربناتها، و یا سولفیدها به صورت نهشته شدن از یک محلول به طور همزمان با خرد شدن پیریت، و یا از طریق حمل در حالت جامد سولفیدهای انعطاف‌پذیر، پر می‌شود.

1- Cataclasis and granular flow
3- Cataclasis flow

2- Dislocation flow
4- Brittle failure

بر اساس نظر مارشال و گیلی گان [۲] کالکوپیریت کانی رایجی است که یا با حرکت دوباره خود به صورت شاره و یا با مهاجرت انحلال فشاری^(۱)، شکستگیهای موجود در پیریت را پر می‌کند.

زمین‌شیمی عناصر نادر خاکی (REE) به منظور مطالعه عناصر نادر خاکی و بررسی چگونگی توزیع و انتقال این عناصر در فرایند دگرگونی، ۷ نمونه از زون کانه‌دار و ۳ نمونه از شیست‌ها برای تجزیه به روش فعال‌سازی نوترونی (NAA) به مرکز انرژی اتمی اصفهان ارسال شد. عناصر REE که در این تجزیه اندازه‌گیری شده‌اند، شامل La, Ce, Nd, Sm, Eu, Gd, Tb, Dy, Tm, Yb, Lu بودند.

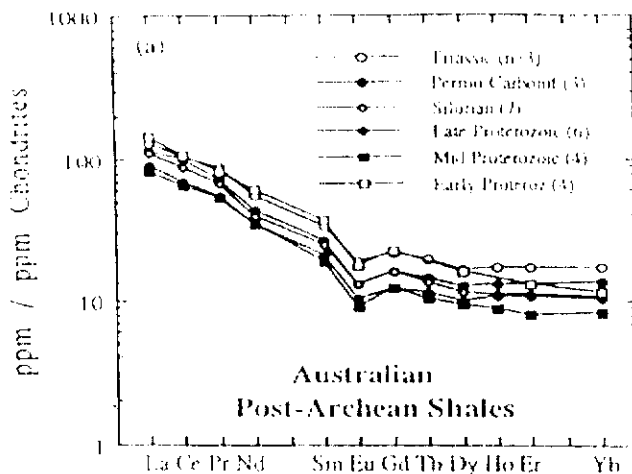
برای اینکه این بررسی به سهولت انجام شود، فراوانی این عناصر در هر یک از نمونه‌های برداشت شده، به فراوانی عناصر مشابه در کندریت بهنجار شد. در این بررسی پارامترهای $\Sigma\text{LREE}/\Sigma\text{HREE}$, ΣREE , ΣHREE , ΣLREE بهنجار شده و بر اساس کندریت نیز برای این نمونه‌ها محاسبه شدند (جدول ۱).

مقایسه الکتوی پراکندگی عناصر نادر خاکی شیست‌های ذخیره مس جیان با الکتوی پراکندگی REE شیلهای

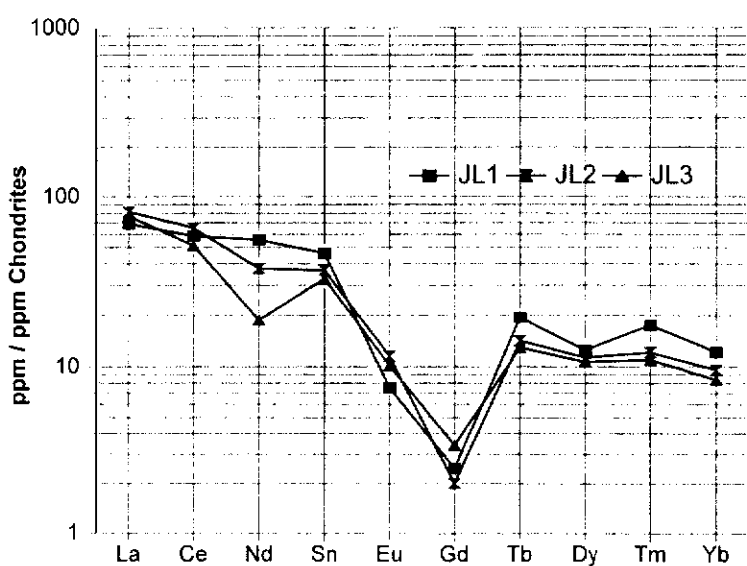
با توجه به اینکه شیست، میزبان کانه‌های کانه‌های مس است، و مقدار کانی کوارتز در شیست بیش از ۵۰٪ حجمی و میزان کانیهای میکائی بیش از ۲۵٪ است، بنابراین می‌توان گفت که این شیست‌ها از دگرگونی سنگهای ناآذرین به وجود آمده‌اند. برای مشخص کردن سنگ منشاء شیست‌ها، مقایسه‌ای بین پراکندگی REE در شیست‌ها و پراکندگی REE در ۲۳ نمونه از شیلهای پس از آرکئن استرالیا صورت گرفته است. شکل ۷ نمودار REE بهنجار شده با کندریت شیلهای پس از آرکئن استرالیا را نشان می‌دهد. از مشخصه‌های بارز این نمودار، غنی شدگی این شیلهای نسبت به LREE و ناهنجاری منفی Eu می‌باشد. در این شیلهای نیز $\text{La}_{\text{N}}/\text{Yb}_{\text{N}}$ و $\text{Gd}_{\text{N}}/\text{Yb}_{\text{N}}=1-2$ کمتر از ۱۵ است [۱۰].

جدول ۱ مقادیر عناصر نادر خاکی و نسبت آنها در شیسته‌های ذخیره مس جیان.

	La	Ce	Nd	Sm	Eu	Gd	Tb	Dy	Tm	Yb	Lu	ΣREE	ΣREE_{xx}	$\Sigma HREE_{xx}$
JL3	68.66	58.10	55.27	45.89	7.47	2.45	19.45	12.41	17.42	12.14	1.52	299.79	235.4	64.39
JL2	80.65	64.79	37.27	36.45	11.49	1.99	14.14	11.34	12.08	9.56	0.97	280.73	230.66	50.08
JL1	76.57	50.89	18.71	32.55	10.11	3.37	12.93	10.63	10.96	8.35	0.87	235.92	188.83	47.09



شکل ۷- الگوی پراکندگی عناصر نادر خاکی بهنجار شده با کندریت شیلهای پس از آرکن استرالیا.



شکل ۸- الگوی پراکندگی عناصر نادر خاکی شیستهای ذخیره مس جیان.

مقایسه‌ای که بین نمودار ۲۳ نمونه از شیلهای پس از آرکن استرالیا و نمودار شیست رخداد مس جیان (شکل ۸) صورت گرفت، وجوده تشابه و تفاوتی دیده می‌شود.

نمودار شیست‌های رخداد مس جیان حالت غنی شدگی نسبت به LREE را نشان می‌دهند. در این نمودارها نسبت $\Sigma \text{LREE} / \Sigma \text{HREE}$ بیش از یک، و پراکندگی REE از

La به Lu سیر نزولی دارد و نسبت $\text{La}_N / \text{Yb}_N$ کمتر از ۱۵ است (جدول ۲). تفاوتها بیسی که مشاهده می‌شوند عبارتند از (۱) نسبت $\text{Gd}_N / \text{Yb}_N$ کمتر از یک است که دلیل آن مقدار بسیار کم Gd است که احتمالاً به علت عدم وجود همبافت‌های جذب‌کننده Gd در محیط بوده است. بنابراین Gd احتمالاً جذب نشده، از محیط خارج شده است. (۲) هر چند مقدار Eu نسبت به عنصر قبلی خود سیر نزولی نشان می‌دهد، ولی به خاطر مقدار بسیار کم Gd قلة منفی آن دیده نمی‌شود.

تأثیر دگرگونی بر پراکندگی REE

اگر هنگام دگرگونی کانی جدیدی تشکیل شود و یا دما و فشار تشکیل سنگ مولد متفاوت باشند، دگرگونی باعث به حرکت در آمدن دوباره REE در مقیاس محلی خواهد شد [۱۱].

آگاهی از حرکت عناصر نادر خاکی در محلولهای آبگون برای تفسیر الگوی پراکندگی عناصر نادر خاکی مهم است و تحرک پذیری و تحرک ناپذیری REE توسط افراد مختلف بررسی شدند [۱۴، ۱۳، ۱۲]. در واکنش‌های شاره-سنگ، الگوی پراکندگی فاز شاره از پارامترهای زیر تاثیر می‌پذیرد [۱۵].

- ۱- الگوی پراکندگی REE سنگی که شاره در تماس با آن است
- ۲- جذب سطحی
- ۳- همبافت‌های شیمیابی

تأثیر جذب سطحی و همبافت‌های شیمیابی بر فراوانی عناصر نادر خاکی در شاره‌ها عکس یکدیگرنداشت. جذب سطحی که بر سطح کانیها و ذرات انجام می‌شود باعث کاهش REE در شاره می‌شود. در حالی که همبافت‌های قویتر باعث افزایش REE در شاره خواهد شد، زیرا انحلال پذیری همبافت‌های REE بیشتر از نمونه‌های REE ناهمبافتی است [۱۵].

جدول ۲- مقادیر La, Gd, Yb بهنجارشده با کندریت و نسبت آنها در شیستهای ذخیره مس جیان.

Sample	La	Gd	Yb	$(La/Yb)_{cn}$	$(Gd/Yb)_{cn}$
JL1	68.66	2.45	12.14	5.65	0.2
JL2	80.65	1.99	9.56	8.43	0.2
JL3	76.57	3.37	8.35	9.17	0.4

اگر الگوی پراکندگی REE_{cn} (عناصر نادر خاکی بهنجار شده با کندریت) یک شاره به وسیله فرایند جذب سطحی کنترل شود، با کاهش در شعاع یونی REE سه ظرفیتی، $(La/Lu)_{cn}$ بیش از یک می‌شود. اما در صورتیکه الگوی پراکندگی REE به وسیله ساز و کارهای همبافتی (همبافت‌های هیدروکسیدی، فلوئوریتی و یا کربناتی) کنترل شود، با کاهش در شعاع یونی عناصر نادر خاکی، نسبت $(La/Lu)_{cn}$ کمتر از یک خواهد شد [۶].

در نمونه‌های شیستهای رخداد مس جیان، نسبت $(La/Lu)_{cn}$ بیش از یک است و به همین دلیل الگوی پراکندگی REE_{cn} در شاره حاصل از دگرگونی به وسیله جذب سطحی کنترل شده است و نیز روند پراکندگی REE_{cn} از La به Lu یک سیر نزولی را نشان می‌دهد که گویای انتقال و پراکندگی REE_{cn} به وسیله جذب سطحی است.

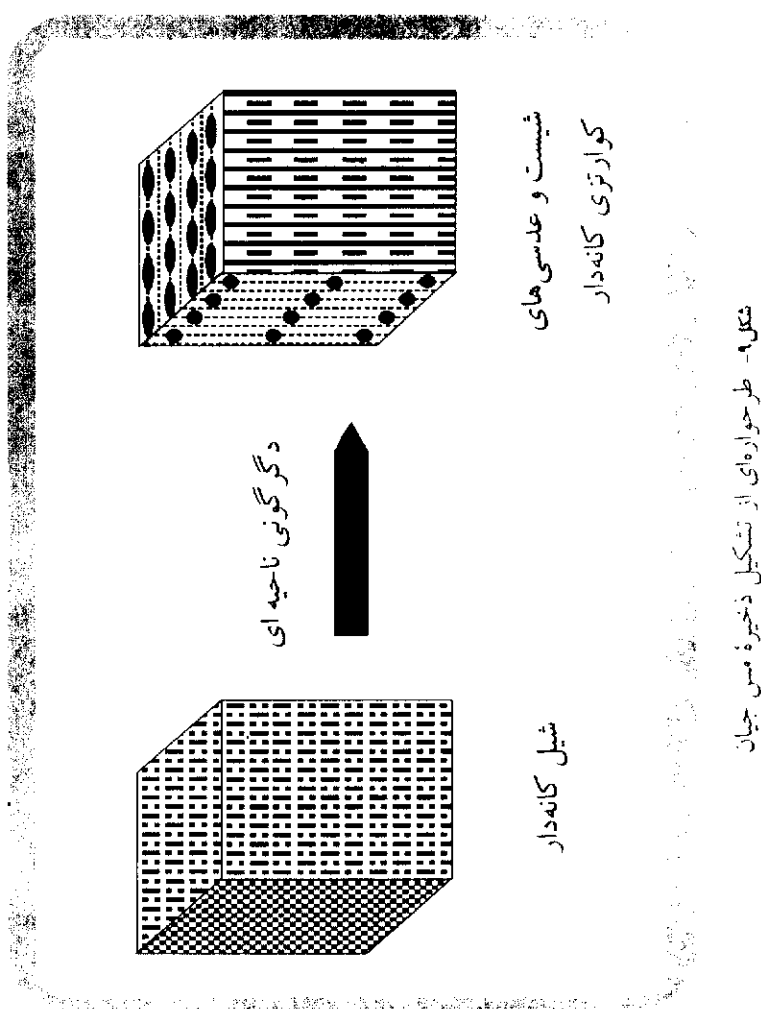
بوداشت

با مطالعه عناصر نادر خاکی شیستهای رخداد مس جیان نسبت $\Sigma LREE/\Sigma HREE$ بیش از یک است که نشان‌دهنده غنی‌شدگی و تمرکز بیشتر LREE است. الگوی پراکندگی REE این شیستهای نادر خاکی سبک به سمت عناصر نادر خاکی سنگین یک سیر نزولی را نشان می‌دهد و نسبت Gd_N/Yb_N کمتر از ۱۵ است که مشابه شیلهاست. بنابراین شیلها سنگ مادر شیستهای رخداد مس جیان هستند.

مطالعه نمونه‌های دستی و میکروسکوپی رخداد مس جیان به خوبی تاثیر دگرگونی ناحیه‌ای درجه پایین را بر این ذخیره نشان می‌دهد بافت‌های تنش آواری در پیریت، بافت پیوندگاه سه‌گانه در پیریت، سایه فشاری کالکوپیریت در اطراف پیریت و پر شدن شکستگی‌های پیریت به وسیله کالکوپیریت، نشانگر حرکت دوباره در طول دگرگونی در این ذخیره است.

نحوه تشکیل ذخیره مس جیاز را می‌توان چنین بیان کرد که شیلهای کانه‌دار تحت تاثیر دگرگونی ناحیه‌ای رخساره شیست سبز با دمای پایین واقع شده است. در اثر این دگرگونی شیست‌ها و عدسی‌های کوارتزی بوجود آمدند و کاله‌های داخل شیلهای نیز تحت تاثیر این دگرگونی، حرکت دوباره یافته و در جهت برگوارگی شیست‌ها و در عدسی‌های کوارتزی قرار گرفتند.

شکل ۹ تشکیل ذخیره مس جیان را طرحوار نشان می‌دهد.



مراجع

- 1- Guha, Jayanta and Koo, Jahak, (1975) "Role of fluid state mobilization during metamorphism of the Henderson ore deposits, Chibougamau, Quebec, Canada". Can. J. Earth Sci.,12, 1516-1523
- 2- Marshall, Brian & Gilligan, Lindsay B. (1987) "An introduction to remobilisation: information from ore-body geometry and experimental considerations". Ore Geolgy Reviews,2,87-131.
- 3- Marshall,Brian, Larocque, Adrienne C.L. & Vokes, Frank M. (1999) "Extensive remobilisation in massive sulphide deposits":A fluid affair! Mineral Deposits : Processes to Processing.
- 4- McClay, K. R. & Ellis, P.G. (1983) "Deformation and recrystallization of Pyrite". Mineralogical Magazine, Vol. 47, pp.527-538.
- 5- تقی پور، نادر (۱۳۷۹) زمین‌شناسی و رزرو خداد مس جیان استان فارس، پایان‌نامه کارشناسی ارشد زمین‌شناسی اقتصادی، دانشگاه شیراز، ۲۰۱ صفحه.
- 6- هوشمند زاده، ع. سهیلی، م. (۱۳۶۹). شرح نقشه زمین‌شناسی چهار گوش اقلید. انتشارات سازمان زمین‌شناسی کشور.
- 7- Craig, Jamis r. & Vokes, Frankm (1993) "The metamorphism of Pyrite and Pyritic ores: an overview". Mineralogical Magazine. Vol.57, pp.3-18.
- 8- Stanton, R.L. (1972) *Ore Petrology*.McGraw-Hill,
- 9- Cox, S.F. (1987) "Flow mecanisms in sulphide minerals". Ore Geology Reviews, 2,133-171.
- 10- Gromet, L.P., Dymek, R.F.,Haskin,L.A. & Korotev, R. L. (1984) "North America Shale composite: its compilation, major and element characteristics ".Geochim Cosmochim Acta 48,2469-2482
- 11- Henderson, P. (1984) *REE geochemistry*, Elsevier Science Pub. Holand
- 12- Bienvenu, P., Bougault, H., Joron, J.L.,Treuil, M.& Dmitriev, L. (1990) "MORB alteration:Rare-earth element / non rare - earth hygromagnaphile element fractionation".Chem.Geol.,82:1-14
- 13- Meen, J.K. (1990) "Negative Ce anomalies in Archean amphibolites and Laramide granitoids,South Western Montana, U.S.A".Chem.Geol.,81:191-207
- 14- Muecke, G., Pride, C. & Sarkar, P. (1979) *Rare earth element geochemistry of regional metamorphic rocks*.in:L.H. Ahrens (Editor), origin and distribution of the elements .Vol.II .Pergamon . Oxford . PP.449-463
- 15- Bau.Micheal (1991) "Rare earth element mobility during hydrothermal and metamorphic fluid-rock interaction and significance of the oxidation state of europium". Chemical Geology, 93, 219-230.